

## К Р А Т К И Е   С О О Б Щ Е Н И Я

### ТЕОРЕТИЧЕСКАЯ И МАТЕМАТИЧЕСКАЯ ФИЗИКА

## Волны плотности кварковой материи в модели Намбу–Йона-Лазинио в магнитном поле

В. Ч. Жуковский<sup>1,a</sup>, К. Г. Клименко<sup>2,b</sup>, И. Е. Фролов<sup>1</sup>

<sup>1</sup>Московский государственный университет имени М. В. Ломоносова, физический факультет, кафедра теоретической физики. Россия, 119991, Москва, Ленинские горы, д. 1, стр. 2.

<sup>2</sup>Институт физики высоких энергий. 142281, Московская обл., Протвино, ул. Победы, д. 1.  
E-mail: <sup>a</sup> zhukoosk@phys.msu.ru, <sup>b</sup> kklim@ihep.ru

Статья поступила 03.06.2010, подписана в печать 02.07.2010

В рамках модели Намбу–Йона-Лазинио рассмотрена возможность образования статичных согласованных волн плотности скалярного и псевдоскалярного конденсатов в плотной кварковой среде при наличии внешнего магнитного поля. В приближении среднего поля найдено выражение для эффективного потенциала теории, проведено его исследование на экстремум численными методами; построена диаграмма состояния системы. Показано, что при низких температурах магнитное поле катализирует образование пространственно-неоднородных конфигураций конденсатов.

*Ключевые слова:* киральный конденсат, пионный конденсат, волны плотности, магнитный катализ.  
УДК: 539.12.01. PACS: 11.30.Qc, 11.30.Rd, 12.38.Mh, 12.39.-x, 21.65.-f.

### Введение

В настоящее время одной из наиболее распространенных эффективных теорий квантовой хромодинамики является модель Намбу–Йона-Лазинио (НЙЛ) [1]. Основываясь на механизме динамического нарушения киральной симметрии и образования кирального и пионного конденсатов, в ее рамках удается объяснить многие свойства кварков и легких мезонов.

При изучении физических явлений в рамках модели НЙЛ предполагается, как правило, что вакуумные конденсаты являются однородными и изотропными в пространстве. Это допущение, однако, может быть не вполне оправданным в области средних и больших плотностей материи и константы связи [2]. В литературе рассматривалась возможность образования статичных согласованных волн плотности кварк-антикваркового и пионного конденсатов (Dual-chiral density waves) [3] вида

$$\begin{aligned} \langle \bar{\psi}\psi \rangle &= \Delta \cos \mathbf{q}\mathbf{r}, \\ \langle \bar{\psi}i\gamma^5\tau_3\psi \rangle &= \Delta \sin \mathbf{q}\mathbf{r}, \\ \langle \bar{\psi}i\gamma^5\tau_{1,2}\psi \rangle &= 0, \end{aligned} \quad (1)$$

где  $\Delta$  — амплитуда конденсата,  $\mathbf{q}$  — фиксированный волновой вектор,  $\tau_i$  — матрицы Паули; при этом  $\langle \bar{\psi}\psi \rangle^2 + \langle \bar{\psi}i\gamma^5\boldsymbol{\tau}\psi \rangle^2 = \Delta^2$  в любой точке пространства. Показано, что волны плотности в кварковой среде образуются при низких температурах в переходной области между массивной и безмассовой фазами модели НЙЛ. Поведение системы во внешних полях, однако, не исследовалось.

В настоящей работе мы рассмотрим возможность образования конфигурации конденсатов указанного типа при наличии внешнего магнитного поля.

### 1. Физическая модель

Будем исследовать модель, используемую в [3], учитывая  $N_f = 2$  сорта кварков ( $u$  и  $d$ ) с нулевой токовой массой и  $N_c = 3$  цвета. При конфигурации вакуумных конденсатов (1) лагранжиан НЙЛ в приближении среднего поля имеет вид

$$\mathcal{L} = \bar{\psi} \left( i\gamma D + \mu\gamma^0 - m \left( \cos \mathbf{q}\mathbf{r} + i\gamma^5\tau_3 \sin \mathbf{q}\mathbf{r} \right) \right) \psi - \frac{m^2}{4G}, \quad (2)$$

где  $m = -2G\Delta$ ,  $G$  — константа связи,  $\mu$  — химпотенциал;  $D = \partial + iQeA$ ,  $Q$  — оператор электрического заряда (с собственными значениями  $Q_u = 2/3$  и  $Q_d = -1/3$ ),  $A$  — потенциал электромагнитного поля;  $e > 0$ . Мы будем считать, что волновой вектор  $\mathbf{q}$  и вектор напряженности магнитного поля  $\mathbf{H}$  направлены вдоль одной оси  $z$ .

Легко видеть, что преобразование полей  $\psi \rightarrow e^{i\gamma^5\tau_3 bx} \psi$ ,  $\bar{\psi} \rightarrow \bar{\psi} e^{i\gamma^5\tau_3 bx}$ , где  $b = q/2$ ,  $q^\mu \equiv (0, \mathbf{q})$ ,  $x^\mu \equiv (t, \mathbf{r})$ , приводит (2) к виду

$$\mathcal{L} = \bar{\psi} \left( i\gamma D + \mu\gamma^0 - m + \gamma^5\tau_3\gamma b \right) \psi - \frac{m^2}{4G}, \quad (3)$$

при этом мера континуального интеграла  $\mathcal{D}\bar{\psi}\mathcal{D}\psi$  остается инвариантной, в чем нетрудно убедиться, применяя метод Фуджикавы [4]. Слагаемое  $\bar{\psi}\gamma^5\tau_3\gamma b\psi$  в (3) представляет собой фоновое СРТ-нечетное аксиально-векторное взаимодействие фермионов.

### 2. Эффективное действие

Нетрудно видеть, что для теории, описываемой лагранжианом (3), в однопетлевом приближении задача формально сводится к нахождению эффективного

действия для одного электрона (с соответствующей заменой величины электрического заряда частицы  $e$  на  $|Q_u|e$  и  $|Q_d|e$ ; при этом мы считаем частицу отрицательно заряженной):

$$\Gamma^{(1)} = \int d^4x \left( -\frac{m^2}{4G} \right) + N_c \Gamma_{\bar{e}}^{(1)}|_{e \rightarrow |Q_u|e} + N_c \Gamma_{\bar{e}}^{(1)}|_{e \rightarrow |Q_d|e}, \quad (4)$$

$$\begin{aligned} \Gamma_{\bar{e}}^{(1)} &= \frac{1}{i} \ln \text{Det} \left( i\gamma D + \mu\gamma^0 - m - \gamma^5 \gamma b \right) = \\ &= \frac{1}{i} \ln \text{Det} \left( i\partial^0 + \mu - H_D \right), \end{aligned} \quad (5)$$

где  $H_D = \alpha \mathbf{P} + \gamma^0 m - \Sigma_3 b$  — модифицированный дираковский гамильтониан,  $\mathbf{P} = \mathbf{p} + e\mathbf{A}$ ; здесь и далее  $b^\mu = (0, 0, 0, b)$ ,  $\mathbf{H} = (0, 0, H)$ ,  $H > 0$ . Для вычисления выражения (5) нам необходимы собственные функции и спектр гамильтониана  $H_D$ .

Пусть  $\mathbf{A} = (0, Hx, 0)$ . Поскольку  $[\Sigma_3, (\alpha \mathbf{P})^2] = 0$ , то собственные функции  $H_D$  имеют стандартный вид (подробности см. в [5]):

$$\Psi_{npq}(x, y, z) = \frac{1}{\sqrt{2\pi}} e^{ipz} \frac{1}{\sqrt{2\pi}} e^{iqy} \begin{pmatrix} c_1 u_{n-1}(\xi) \\ ic_2 u_n(\xi) \\ c_3 u_{n-1}(\xi) \\ ic_4 u_n(\xi) \end{pmatrix} (eH)^{1/4},$$

где  $u_n(\xi)$  — функции Эрмита,  $\xi = \sqrt{eH}x + \frac{q}{\sqrt{eH}}$ ,  $\{c_i\}$  — спиновые коэффициенты. При каждом фиксированном  $n > 0$  мы имеем задачу на собственные значения для матрицы  $K$  (размером  $4 \times 4$ ) и столбца  $\{c_i\}$ , где

$$K = \alpha_1 p_\perp + \alpha_3 p + \gamma^0 m - \Sigma_3 b, \quad p_\perp = \sqrt{2eHn}.$$

Выполним унитарное преобразование  $\tilde{K} = U^{-1}KU$ , где  $U = e^{i\Sigma_2 \frac{\pi}{2}} e^{i\gamma^0 \Sigma_2 \frac{\pi}{2}}$ , тогда

$$\begin{aligned} \tilde{K} &= \alpha_1 \tilde{p}_\perp + \alpha_3 \tilde{p} + \gamma^0 m + \gamma^0 \Sigma_3 \tilde{\mu} H, \\ \tilde{p}_\perp &= p, \quad \tilde{p} = -p_\perp, \quad \tilde{\mu} H = b. \end{aligned}$$

Матрица  $\tilde{K}$  соответствует задаче о движении электрона с аномальным магнитным моментом  $\tilde{\mu}$ ; решения такой задачи известны<sup>1</sup> [6]. Случай  $n=0$  требует, однако, отдельного рассмотрения в явном виде; оно не представляет сложностей.

Окончательное выражение для спектра имеет вид

$$E_{np\zeta\epsilon} = \begin{cases} \epsilon \sqrt{\left( \zeta \sqrt{m^2 + p^2 + b} \right)^2 + 2eHn}, & n > 0, \\ \epsilon \sqrt{m^2 + p^2 + b}, & n = 0, \end{cases} \quad (6)$$

где  $n = 0, 1, \dots$ ,  $-\infty < p < \infty$ ,  $\zeta = \pm 1$ ,  $\epsilon = \pm 1$ . При  $n=0$  спиновое квантовое число  $\zeta$  не входит в спектр, кроме этого, всегда имеет место вырождение по  $q$  ( $-\infty < q < \infty$ ). Отметим, что асимметрия спектра частиц и античастиц при  $n=0$  связана с СРТ-нечетностью рассматриваемого нами взаимодействия и наличием выделенного направления  $\mathbf{H}$ .

Зная явный вид волновых функций, мы можем по теории возмущений найти поправку к энергии  $\Delta E_\perp$ ,

обусловленную отклонением  $\mathbf{b}$  от направления  $\mathbf{H}$ . Пусть  $\mathbf{b} = (b_\perp, 0, b)$ . Опуская промежуточные выкладки, приведем соответствующее асимптотическое выражение (построенное с учетом возможного пересечения близких невозмущенных уровней):

$$\Delta E_\perp = \sum_{\pm} (f_\pm|_{e'=\epsilon} + g_\pm|_{e'=-\epsilon})|_{n'=n\pm 1, \zeta'=-\zeta},$$

где

$$f_\pm = \frac{1}{2} \left( -E + E' + \text{sgn}_\pm(E - E') \sqrt{(E - E')^2 + 4D_\pm} \right),$$

$$g_\pm = \frac{D_\pm}{E - E'},$$

$$D_\pm = 2b_\perp^2 \left( 1 \mp \zeta' e' \sqrt{1 - \frac{2eHn'}{E'^2}} \right) \left( 1 \pm \zeta e \sqrt{1 - \frac{2eHn}{E^2}} \right),$$

и мы ввели обозначения:  $E \equiv E_{np\zeta\epsilon}$ ,  $E' \equiv E_{n'p'\zeta'e'}$ ; функция  $\text{sgn}_\pm(x)$  возвращает знак своего аргумента при  $x \neq 0$  и подчиняется условию  $\text{sgn}_\pm(0) = \pm 1$ . Ее использование обусловлено тем, что мы хотим сохранить за  $\Delta E_\perp$  смысл малой поправки к исходному энергетическому уровню  $E$  с определенным набором введенных нами квантовых чисел  $np\zeta\epsilon$  (по крайней мере, вдали от точек пересечения невозмущенных уровней).

Вводя нормировочный 4-объем  $L_t L_x L_y L_z$ , мы можем теперь вычислить (5):

$$\begin{aligned} \Gamma_{\bar{e}}^{(1)} &= \frac{1}{i} \ln \text{Det} \left( i\partial^0 + \mu - H_D \right) = \\ &= \frac{1}{2i} \text{Tr} \ln \left( -(i\partial^0)^2 + (H_D - \mu)^2 \right) = \\ &= \frac{1}{2i} \int dp^0 \sum_{(n)} \int d^4x \frac{1}{\sqrt{2\pi}} e^{ip^0 t} \Psi^+ \times \\ &\quad \times \ln \left( -(i\partial^0)^2 + (H_D - \mu)^2 \right) \frac{1}{\sqrt{2\pi}} e^{-ip^0 t} \Psi = \\ &= \frac{1}{2i} \int dp^0 \sum_{(n)} \ln \left( -(p^0)^2 + (E - \mu)^2 \right) \frac{L_t L_z L_y}{2\pi 2\pi 2\pi}. \end{aligned}$$

В последнем выражении  $(n)$  обозначает совокупность всех квантовых чисел, при этом

$$\sum_{(n)} = \sum_{n\zeta\epsilon} \int dp \int dq = \sum_{n\zeta\epsilon} \int dp eHL_x,$$

так как  $q = -x_0 eH$ , где  $x_0$  — координата «центра» волновой функции  $\Psi$  по оси  $x$ . Для получения термодинамического потенциала системы при конечной температуре  $T$  мы применим технику Мацубары [7]:

$$\int_{-\infty}^{\infty} \frac{dp^0}{2\pi} \rightarrow \int_{-i\infty}^{i\infty} \frac{dp^0}{2\pi} = i \int_{-\infty}^{\infty} \frac{dp^4}{2\pi} \rightarrow i \frac{1}{\beta} \sum_{k=-\infty}^{+\infty},$$

при этом  $p^4 \rightarrow \omega_k = \frac{2\pi}{\beta} \left( k + \frac{1}{2} \right)$ , где  $\beta = 1/T$ ; сумма по  $k$  может быть взята аналитически.

Окончательно для термодинамического потенциала  $\Omega = -\frac{\Gamma^{(1)}}{L_t L_x L_y L_z}$  получим

$$\Omega = \frac{m^2}{4G} + N_c \Omega_{\bar{e}|e \rightarrow |Q_u|e} + N_c \Omega_{\bar{e}|e \rightarrow |Q_d|e}, \quad (7)$$

<sup>1</sup> Отметим, что вид спиновых коэффициентов не зависит от выбора калибровки потенциала  $\mathbf{A}$ .

$$\Omega_{\bar{e}} = -\frac{1}{2} \frac{eH}{(2\pi)^2} \int dp \sum_{n\zeta\epsilon} \left( |E - \mu| + \frac{2}{\beta} \ln \left( 1 + e^{-\beta|E-\mu|} \right) \right). \tag{8}$$

Выражение (8) содержит расходящийся вакуумный вклад (соответствующий  $\mu = 0, T = 0$ ). Для его регуляризации мы применим метод собственного времени [8]:

$$\begin{aligned} \Omega_v &= -\frac{1}{2} \frac{eH}{(2\pi)^2} \int dp \sum_{n\zeta\epsilon} |E| \rightarrow \\ &\rightarrow \frac{1}{4\sqrt{\pi}} \frac{eH}{(2\pi)^2} \int dp \sum_{n\zeta\epsilon} \int_{1/\Lambda^2}^{+\infty} \frac{ds}{s\sqrt{s}} e^{-sE^2}, \end{aligned}$$

где  $\Lambda$  — размерный параметр обрезания. Следует отметить, что, несмотря на конечность выражения  $\Omega_{\bar{e}} - \Omega_v$ , его явное вычисление (как разности расходящихся объектов) также требует введения промежуточной регуляризации для получения корректного ответа при отсутствии симметрии между спектрами частиц и античастиц. В частности, возможно введение обрезającego множителя  $\theta(\Lambda' - |E|)$ , где  $\Lambda' > \Lambda$ .

### 3. Диаграмма состояния

Для изучения фазовых переходов в системе было проведено численное исследование потенциала (7) на минимум относительно независимых параметров  $m$  и  $b$  при различных значениях химпотенциала  $\mu$  и напряженности внешнего магнитного поля  $H$  при  $T = 0$ . Найденный минимум проверялся на стабильность относительно малых отклонений  $b$  от направления  $\mathbf{H}$ . При вычислениях использовались величины, обезразмеренные с помощью параметра обрезания  $\Lambda$ ; мы обозначим их теми же символами, что и исходные. Максимальная величина относительной ошибки была задана на уровне  $10^{-3}$ , абсолютной —  $10^{-8}$ .

Зависимость параметра  $b$  от внешних условий при  $G = 6$  представлена на рис. 1. Фазовая диаграмма для

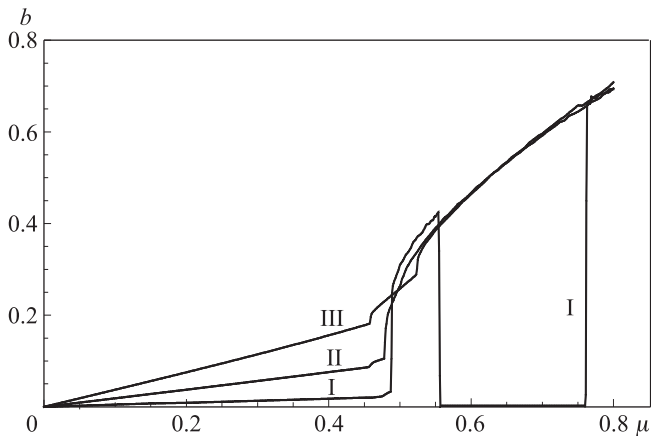


Рис. 1. Зависимость параметра  $b$  от химпотенциала  $\mu$  при  $G = 6$  и  $T = 0$  для  $\sqrt{eH} = 0.15$  (I),  $0.3$  (II) и  $0.45$  (III) (все величины безразмерны). На графике I наблюдается участок с  $b = 0$ , соответствующий симметричной фазе с  $m = 0$

<sup>1</sup> В настоящей работе мы не выделяем рассмотренные в [9] осцилляционные последовательности фаз одного типа, считая их за единую фазу.

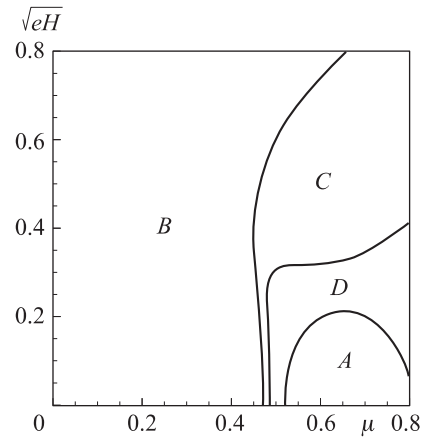


Рис. 2. Фазовая диаграмма кварковой материи при  $G = 6$  и  $T = 0$ . Параметры  $\mu$  и  $\sqrt{eH}$  безразмерны. Наряду с симметричной фазой  $A$  и массивными фазами  $B$  и  $C$  отмечена фаза  $D$  с выраженной пространственной неоднородностью конденсатов при  $H \rightarrow 0$

этого случая изображена на рис. 2. При  $H \rightarrow 0$  наш результат непрерывно переходит в результат, полученный в [3]. При  $H > 0$  наблюдается модификация характерной для модели НЙЛ в магнитном поле структуры фаз<sup>1</sup> (подробности о последней см., например, в [9]). Пространственно-неоднородные конфигурации конденсатов (для которых  $b \neq 0$ ) образуются всюду в области массивных фаз  $B$  и  $C$  (кроме случая  $\mu = 0$ ), при этом параметр  $b$  плавно увеличивается с ростом напряженности магнитного поля; последнее способствует также дальнейшему развитию новой (обнаруженной в [3]) фазы  $D$  с выраженной пространственной неоднородностью конденсатов при  $H \rightarrow 0$  (в фазах  $B$  и  $C$  указанная неоднородность отсутствует при  $H = 0$ ); симметричная безмассовая фаза  $A$  ограничена фазой  $D$  при больших значениях  $H$ .

### Заключение

Исходя из полученных в настоящей работе результатов, мы можем говорить о магнитном катализе образования пространственно-неоднородных конфигураций конденсатов в рамках модели НЙЛ. Нетрудно установить, что данное явление обязано своим существованием особенностям в спектре (6) при  $n = 0$ , а именно нарушению симметрии между спектрами фермионов и антифермионов. Исключение слагаемых с  $n = 0$  из (8) при численных расчетах приводит к исчезновению эффекта. Как отмечено в [3], линейный рост параметра  $b$  с увеличением химпотенциала  $\mu$  характерен для одномерных систем; это согласуется с тем фактом, что, как известно, движение фермионов в сильном внешнем магнитном поле носит эффективно одномерный характер.

Авторы выражают благодарность А. Е. Лобанову, а также А. В. Тюкову за ценные замечания и участие

в плодотворной дискуссии при проведении нашего исследования.

### Список литературы

1. *Nambu Y., Jona-Lasinio G.* // Phys. Rev. 1961. **124**. P. 246.
2. *Deryagin D.V., Grigoriev D.Y., Rubakov V.A.* // Int. J. Mod. Phys. A. 1992. **7**. P. 659.
3. *Nakano E., Tatsumi T.* // Phys. Rev. D. 2005. **71**. P. 114006.
4. *Fujikawa K.* // Phys. Rev. D. 1980. **21**. P. 2848.
5. *Соколов А.А., Тернов И.М.* Релятивистский электрон. М., 1983.
6. *Тернов И.М., Багров В.Г., Жуковский В.Ч.* // Вестник Моск. ун-та. Физ. Астрон. 1966. № 1. С. 30.
7. *Matsubara T.* // Prog. Theor. Phys. 1955. **14**. P. 351.
8. *Schwinger J.* // Phys. Rev. 1951. **82**. P. 664.
9. *Ebert D., Klimenko K.G., Vdovichenko M.A., Vshiotsev A.S.* // Phys. Rev. D. 1999. **61**. P. 025005.

### Density waves in quark matter within the Nambu–Jona-Lasinio model in an external magnetic field

V. Ch. Zhukovsky<sup>1,a</sup>, K. G. Klimenko<sup>2,b</sup>, I. E. Frolov<sup>1</sup>

<sup>1</sup>*Department of Theoretical Physics, Faculty of Physics, M. V. Lomonosov Moscow State University, Moscow 119991, Russia.*

<sup>2</sup>*Institute for High Energy Physics, Pobedy str. 1, Protvino, Moscow Region 142281, Russia.*

*E-mail: <sup>a</sup>zhukovsk@phys.msu.ru, <sup>b</sup>kklim@ihep.ru.*

A possibility of formation of static dual scalar and pseudo-scalar density wave condensates in a dense quark matter is considered for the Nambu–Jona-Lasinio model in an external magnetic field. Within a mean-field approximation, the effective potential of the theory is obtained and its extrema are numerically studied; a phase diagram of the system is constructed. It is shown that the presence of a magnetic field favours the formation of spatially inhomogeneous condensate configurations at low temperatures.

*Keywords:* chiral condensate, pion condensate, density waves, magnetic catalysis.

PACS: 11.30.Qc, 11.30.Rd, 12.38.Mh, 12.39.–x, 21.65.–f.

*Received 3 June 2010.*

English version: *Moscow University Physics Bulletin* 6(2010).

### Сведения об авторах

1. Жуковский Владимир Чеславович — докт. физ.-мат. наук, профессор; тел.: (495) 939-31-77, e-mail: zhukovsk@phys.msu.ru.
2. Клименко Константин Григорьевич — докт. физ.-мат. наук, профессор, гл. науч. сотр; тел.: (496) 77-1-40-33, e-mail: kklim@ihep.ru.
3. Фролов Игорь Евгеньевич — аспирант; тел.: (495) 939-31-77, e-mail: igor.e.frolov@gmail.com.